

Campo elétrico

Da expressão [7], proveniente da lei de Coulomb aliada ao princípio da superposição, para a força eleostática sobre uma carga puntiforme q devida a uma distribuição (fixa, pois estamos tratando de eleostática) de cargas $\{(q_i, \vec{r}_i) : i=1, \dots, N\}$:

$$\vec{F} = \frac{q}{4\pi\epsilon_0} \sum_{i=1}^N \frac{q_i}{r_i^2} \hat{r}_i , \quad [7']$$

onde \hat{r}_i é a posição da carga q_i em relações à q , decore que a única característica associada ao corpo sobre o qual atua a força é o fator multiplicativo q , sendo o restante uma característica da distribuição de cargas $\{(q_i, \vec{r}_i)\}$ apenas.

Desta forma, podemos tratar o corpo de carga q como uma carga de prova, sobre a qual atua uma força eleostática que depende de sua carga q e de sua posição \vec{r} no espaço de maneira expressa por:

$$\vec{F} = q \vec{E}(\vec{r}) , \quad [8]$$

onde a dependência espacial é devida da distribuição de cargas e expressa pelo vetor

$$\vec{E}(\vec{r}) = \frac{1}{4\pi\epsilon_0} \sum_{i=1}^n \frac{q_i}{r_i^2} \hat{r}_i, \quad [9]$$

lembraos que \hat{r}_i é a posição do ponto \vec{r} em relação à posição de cada carga q_i .

Sendo uma grandeza que assume um valor (vetorial) em cada ponto do espaço, $\vec{E}(\vec{r})$ consiste então no que se chama um campo (vetorial): ele é o campo elétrico da distribuição de cargas em questão.

Faz-se necessária, neste ponto, a seguinte hipótese de trabalho: que a distribuição de cargas $\{(q_i, \vec{r}_i)\}$ seja fixa, isto é, não se altere no tempo. Este é o pressuposto, e portanto o espaço da electrostática, a qual desconsiderará entre quaisquer efeitos da carga de prova q sobre a configuração de cargas que gera o campo elétrico dado por [9]. Tais efeitos não permanecem de consideração quando tratarmos da eletrodinâmica, que abordará distinções — e campos — variáveis no tempo, mas na qual persistirá o conceito de campo elétrico.

Dado isto que, na electrostática, o campo elétrico é dado por [9] e determina, por [8], a força elétrica sobre qualquer carga num dado ponto do espaço, cabe uma questão: se o campo elétrico é tão somente uma formalização da interação entre cargas, como sendo mediada por ele, ou se o campo elétrico é algo em si, tão real físico como as cargas.

Tal questão é colocada por E. Purcell no volume de Elétricidade e Magnetismo do curso de Física de Berkeley, que propõe que tratemos os campos em questão como tão reais como os considerávamos aqueles que desenvolveram e proporcionaram grandes avanços na área, como Faraday e Maxwell, por exemplo.

Vamos adotar a mesma posição proposta por Purcell e aresentar que, embora a questão transcendia da Física à Filosofia da Ciência, a Física indica uma resposta com o desenvolvimento da teoria de campos, inclusive como paradigma para descritivas da própria estrutura elementar da matéria.*

O campo elétrico é medido, no SI, em N/C, retratando os significados de força por unidade de carga. Trabalharemos alguns exemplos para explorar mais o significado e as propriedades do campo elétrico gerado por configurações simples de cargas.

O caso particular mais simples é de uma carga puntiforme. Para discutir matematicamente o campo é necessário escolher um sistema de coordenadas. Nesse caso, se escolhermos um referencial com origem distinta da posição da carga que origina o campo, como ilustrado na Fig. 2, temos

$$\vec{E}(\vec{r}) = \frac{1}{4\pi\epsilon_0} \frac{q_1}{r_1^2} \hat{r}_1 = \frac{q_1}{4\pi\epsilon_0} \frac{\vec{r} - \vec{r}_0}{|\vec{r} - \vec{r}_0|^3},$$

onde \vec{r}_0 é a posição da carga quando o referencial era lido; e podemos notar que a expressão para o campo simplifica-se com uma escolha de referencial em que $\vec{r}_0 = \vec{0}$ — isto é, com origem na própria carga, conforme ilustrado na Fig. 3. Assim:

$$\vec{E}(\vec{r}) = \frac{1}{4\pi\epsilon_0} \frac{q}{r^2} \hat{r} = E(r) \hat{r}, \quad [10]$$

onde \hat{r} e r coincidem, respectivamente, com o vetor e a ordenada radial do sistema de coordenadas esféricas (v. Fig. 3).

O fato de o campo depender apenas desta ordenada (i.e. $\frac{\partial \vec{E}}{\partial \theta} = \frac{\partial \vec{E}}{\partial \phi} = \vec{0}$) reflete que esta configuração de carga apresenta uma simetria — no caso, simetria esférica, que pode ser explorada, e também visualizada, em coordenadas esféricas.

(*) Videos: "Real World Telekinetics", Minutie Physics & Neil Turok,
"Theory of everything: What is Matter?", Minutie Physics

Fig. 2:

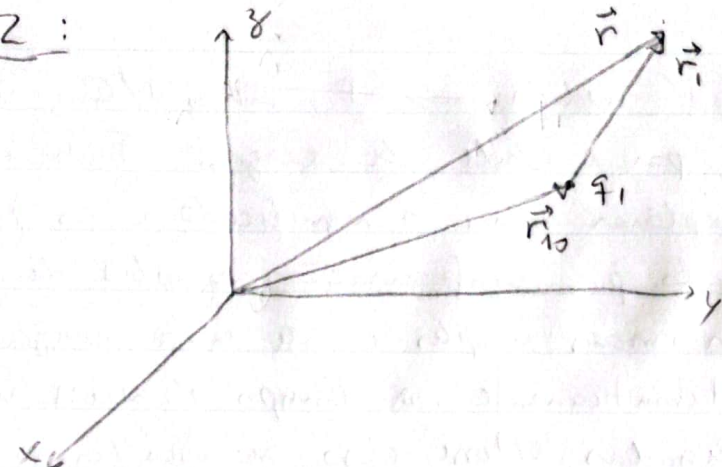
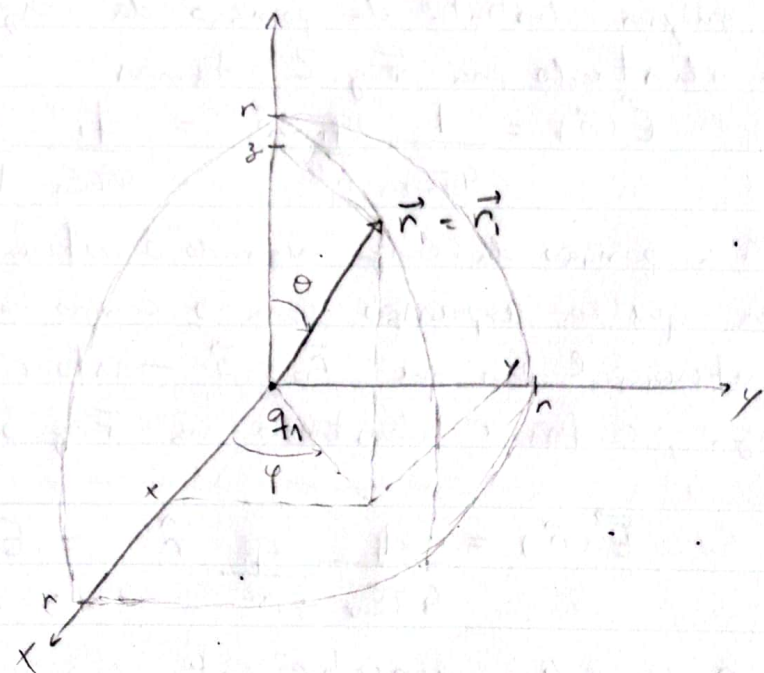


Fig. 3:



Em geral, é interessante primeiramente identificar se a configuração de cargas apresenta alguma simetria e, então, escolher o sistema de coordenadas de acordo.

Tomemos como próximo exemplo um dipolo: um sistema de duas cargas puntiformes, $+q$ e $-q$, onde, a partir deste ponto, ambiremos qualquer " q " como o módulo da carga, de modo que $+q$ é uma carga positiva e $-q$ é uma carga negativa.

As posições destas duas cargas determina uma direção específica do espaço, enquanto todas as direções perpendiculares a ela são equivalentes entre si, havendo então simetria em torno do eixo definido pelas duas cargas - i.e. simetria axial.

Conseguimos, portanto, escolhermos coordenadas cilíndricas com o eixo azimutal (z) sobre as cargas, conforme ilustrado na Fig. 4, sendo conveniente também que as cargas estejam equidistantes da origem. Assim, o campo elétrico gerado por este dipolo será:

campo elétrico de dipolo em coordenadas cilíndricas

$$\vec{E}(\vec{r}) = \frac{q}{4\pi\epsilon_0} \left(\rho \left(\frac{1}{(\rho^2 + (z-d)^2)^{3/2}} - \frac{1}{(\rho^2 + (z+d)^2)^{3/2}} \right) \hat{\rho} + \left(\frac{(z-d)}{(\rho^2 + (z-d)^2)^{3/2}} - \frac{(z+d)}{(\rho^2 + (z+d)^2)^{3/2}} \right) \hat{z} \right), [11]$$

onde: $\vec{E}(p, \varphi, z) = \vec{E}(p, z)$ reflete a simetria axial.

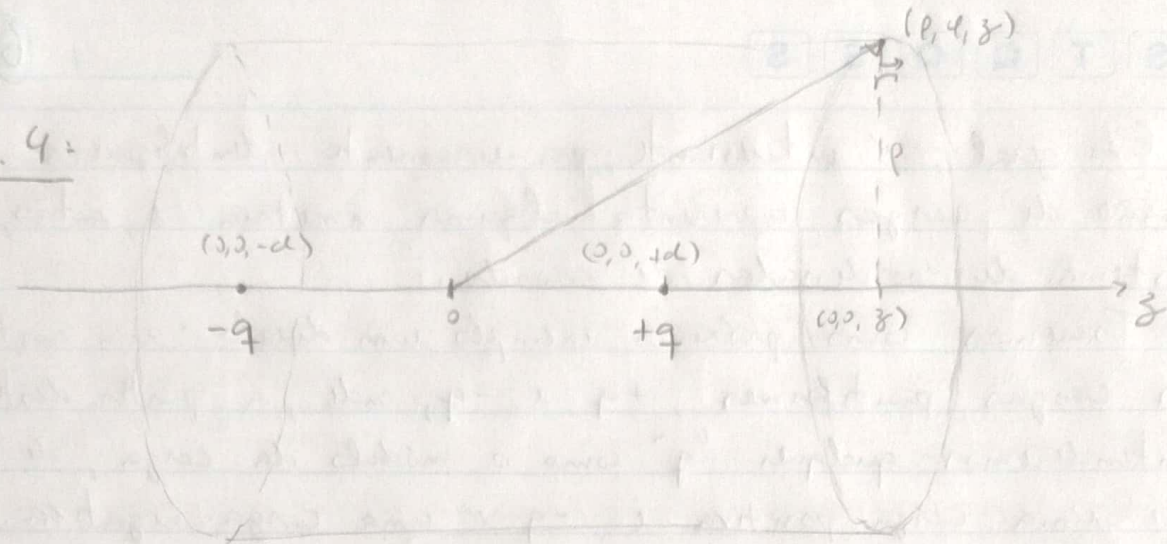
Destacam-se, em particular: o campo no plano $z=0$:

$$\vec{E}(p, 0) = -\frac{1}{4\pi\epsilon_0} \cdot \frac{2qd}{(\rho^2 + d^2)^{3/2}} \hat{z};$$

o campo sobre o eixo z para $|z| > d$:

$$\vec{E}(0, z) = i \frac{1}{2\pi\epsilon_0} \cdot \frac{2qdz}{(z^2 - d^2)^2} \hat{z};$$

Fig. 4:



(*) O fator $2qd \equiv p$ é chamado momento do dipolo elétrico deste par de cargas.

os campos sobre o eixo z para $|z| \gg d$:

$$\vec{E}(0, z) = -\frac{1}{2\pi\epsilon_0} \frac{q(z^2 + d^2)}{(z^2 - d^2)^2} \hat{k}.$$

Caso as cargas formem $+2q$ e $-q$, ou $+q$ e $-2q$, teriam na expressão [11] um fator 2 nos termos com $(r^2 + (z-d)^2)^{-3/2}$, ou nos termos com $(r^2 + (z+d)^2)^{-3/2}$, respectivamente, de modo que no limite $|z| \gg d$:

$$\vec{E} = \frac{\pm q}{4\pi\epsilon_0} \left(\frac{r\hat{r} + z\hat{k}}{(r^2 + z^2)^{3/2}} \right) + O\left(\frac{d}{z}\right)^* = \frac{\pm q}{4\pi\epsilon_0} \frac{\vec{r}}{r^3} + O\left(\frac{d}{z}\right)^* \approx \vec{E}(r),$$

onde não apenas manifesta-se simetria esférica, mas também o campo desta configuração tende (neste limite $|z| \gg d$) ao campo de uma carga puntiforme $\pm q$ ou $-q$, respectivamente, localizada na origem, como esperado caso as cargas estejam muito próximas em comparação à escala da distância considerada.

Embora o cálculo do campo seja de grande importância, também é de grande visualização e interpretação. Iniciemos com o campo gerado por uma carga puntiforme $+q$ ou $-q$: o campo é radial para fora ou para dentro, respectivamente. A simetria esférica permite que qualquer plano que pase pela origem tenha o mesmo comportamento de \vec{E} . Representando então o campo elétrico de uma carga puntiforme no plano obtém-se a Fig. 5.

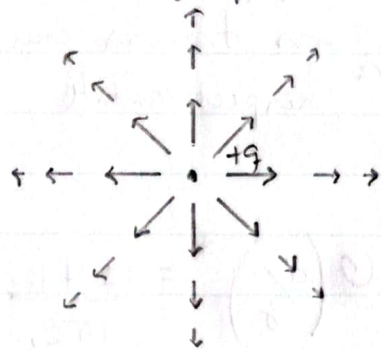
Esta figura é, no entanto, meramente qualitativa, uma vez que o campo dado por [15] varia com $1/r^2$. Sendo comum que uma representação quantitativamente fiel não provê uma boa visualização, pode ser útil uma outra visualização qualitativa baseada na direção e no sentido do campo; o que pode ser obtido traçando-lhe linhas que não tangentes as

(*) Expresar en términos de Taylor en torno de $\frac{d}{\delta} = 0$.

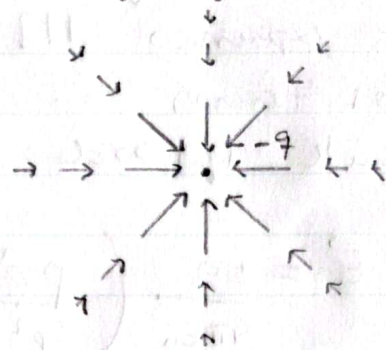
(**) V. expresas [10].

Fig. 5:

(a): carga positiva



(b): carga negativa



campo em qualquer ponto do espaço: estas não as linhas de campo.

A Fig. 6 ilustra as linhas de campo geradas por uma carga puntiforme. As linhas de campo contêm um sentido admissível de onde se lê o sentido do campo \vec{E} , embora seja uma representação qualitativa, lê-mo também que a intensidade do campo diminui com o afastamento das linhas, e vice com a aproximação das linhas de campo.

Vale ressaltar que: as linhas de campo sempre divergem de cargas positivas e convergem para cargas negativas^{*}; as linhas de campo não correspondem a trajetórias de cargas de prova, uma vez que, mesmo que a força elétrica seja a única atuante, a direção do campo (e portanto da linha de força) num dado ponto não a direção da aceleração, e não da velocidade da carga de prova.

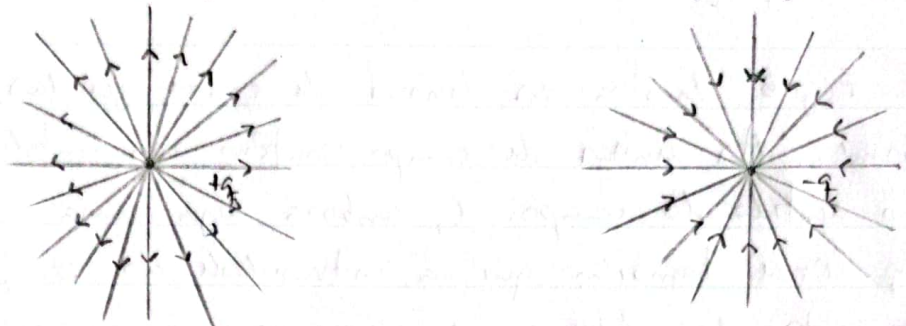
Para visualização das linhas de campo da distribuição de um dipolo ([11]), nota-mos que a simetria axial (\vec{E} independente de φ em coordenadas cilíndricas) permite que escolhamos como representativo qualquer plano contendo o eixo z em que esteja localizado o dipolo. Um esboço destas linhas de campo é apresentado na Fig. 7, onde se recomenda interpretar a figura [11] e as subsequentes.

Por fim, observa-se que o campo de cargas puntiformes não é definido na localização das mesmas: $r=0$ em [10] e $z=\pm d$ em [11], o que descreve de uma densidade infinita de carga nesses pontos. De forma mais geral, podemos considerar distribuições de carga no espaço:

$$dq = \rho dv = \sigma da = \lambda dl,$$

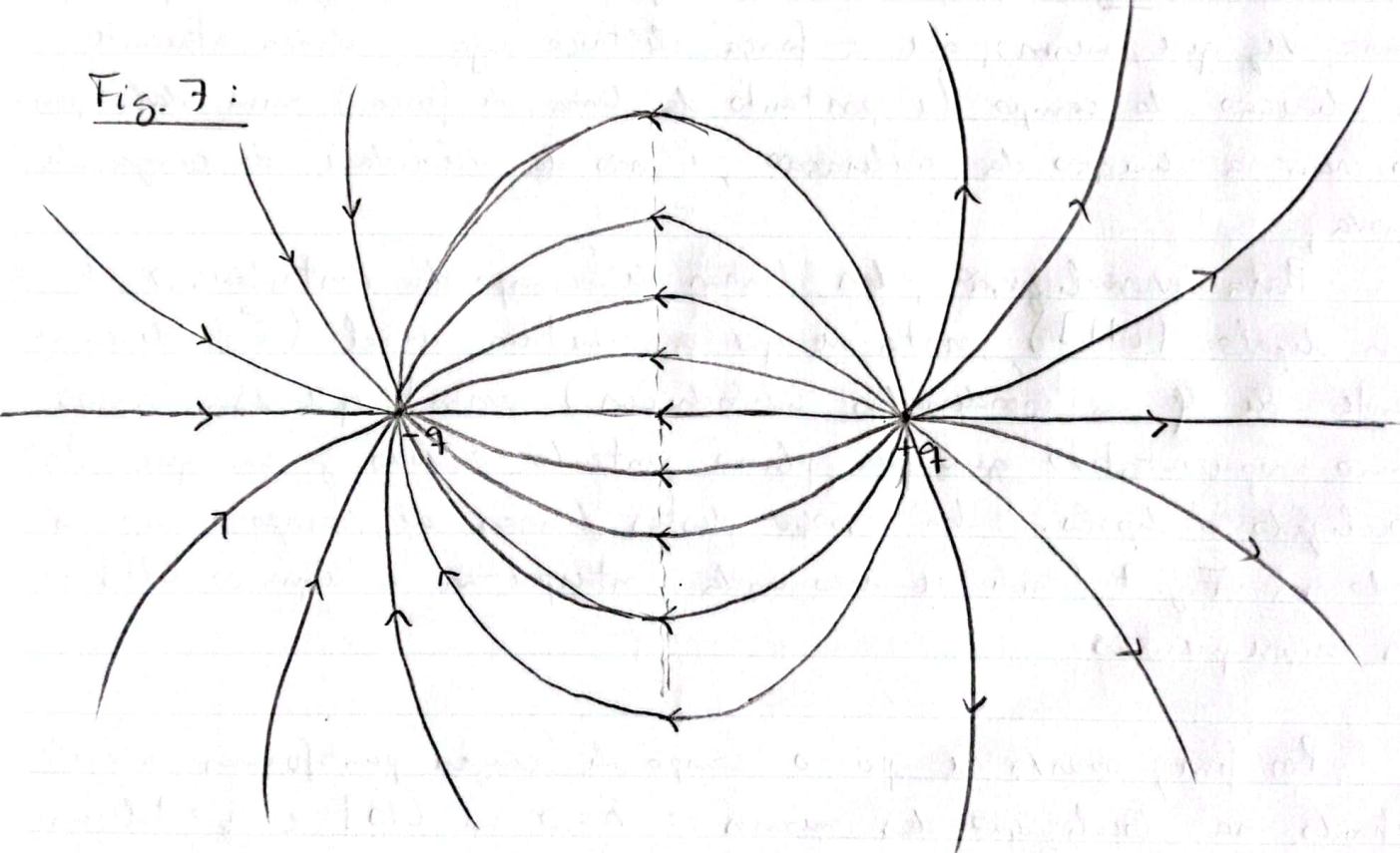
cada elemento de carga contribuindo para um elemento de campo:

Fig. 6: (a): carga positiva (b): carga negativa



(*) Isto ficará mais claro e matematicamente preciso em breve, com a versão local da lei de Gauss.

Fig. 7:



$$d\vec{E} = \frac{dq}{4\pi\epsilon_0} \frac{\hat{r}}{r^2},$$

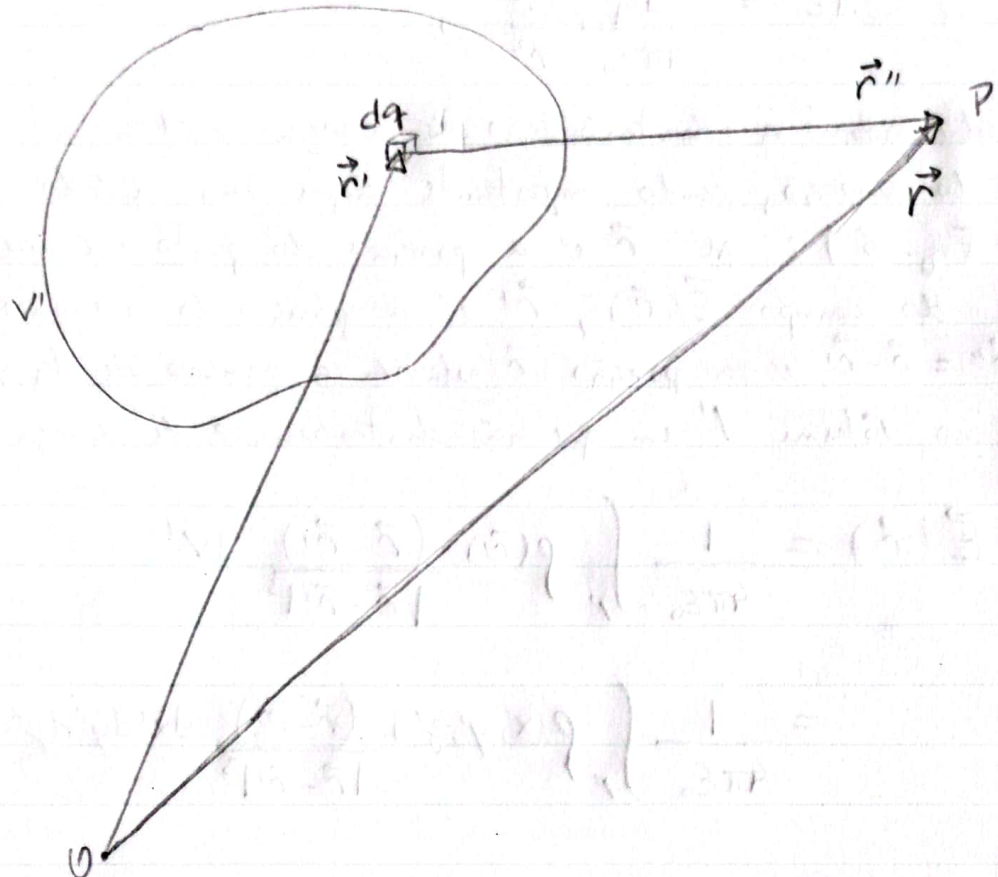
[10']

que integrado sobre a distribuição de carga resulta no campo num dado ponto do espaço, sendo importante aqui um cuidado com a notação (v. Fig. 8): se \vec{r} é a posição do ponto em que se calcula o valor do campo $\vec{E}(\vec{r})$, \vec{r}' é a posição dos elementos de carga dq e $\vec{r}'' = \vec{r} - \vec{r}'$ é a posição \vec{r} relativa à posição de dq , então a integração no volume V' em que há distribuição de carga resulta em:

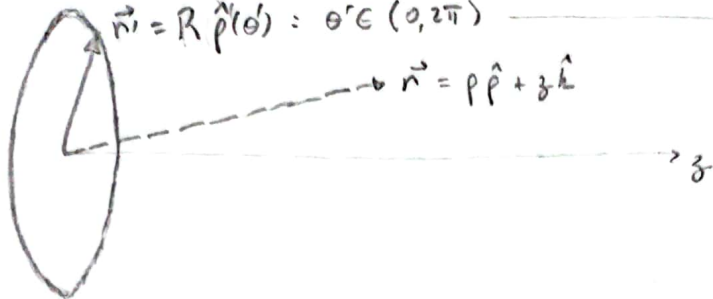
$$\begin{aligned} \vec{E}(\vec{r}) &= \frac{1}{4\pi\epsilon_0} \int_{V'} \rho(\vec{r}') \frac{(\vec{r} - \vec{r}')}{|\vec{r} - \vec{r}'|^3} dV' \\ &= \frac{1}{4\pi\epsilon_0} \int_{V'} \rho(x', y', z') \frac{(\vec{r} - \vec{r}')}{|\vec{r} - \vec{r}'|^3} dx' dy' dz'. \end{aligned} \quad [12]$$

Fazemos alguns exemplos para construir familiaridade e obter um melhor entendimento deste tipo de cálculo.

Fig. 8:



Exemplo: anel circular uniformemente carregado (raio R):



$$\vec{r}' = R \hat{p}(\theta') : \theta' \in (0, 2\pi)$$

$$\rightarrow \vec{r} = p \hat{p} + z \hat{z}$$

$\rightarrow z$

coordenadas cilíndricas:

$$\hat{p} = \cos \theta \hat{i} + \sin \theta \hat{j}$$

$$\hat{p}' = \cos \theta' \hat{i} + \sin \theta' \hat{j}$$

$$dl' = R d\theta'$$

Assim, para um ponto qualquer do espaço:

$$\vec{E}(\vec{r}) = \frac{1}{4\pi\epsilon_0} \int_{\text{anel}} dq' \frac{(\vec{r} - \vec{r}')}{|\vec{r} - \vec{r}'|^3} \quad \rightarrow dq' = \lambda d\theta'$$

$$= \frac{\lambda R}{4\pi\epsilon_0} \int_0^{2\pi} \frac{(p \hat{p} + z \hat{z} - R \hat{p}')}{|p \hat{p} + z \hat{z} - R \hat{p}'|^3} d\theta'$$

nos denominadores:

$$|p \hat{p} + z \hat{z} - R \hat{p}'|^2 = (p \hat{p} + z \hat{z} - R \hat{p}') \cdot (p \hat{p} + z \hat{z} - R \hat{p}') \\ = p^2 + z^2 + R^2 - 2pR \hat{p} \cdot \hat{p}',$$

$$\text{onde } \hat{p} \cdot \hat{p}' = \cos \theta \cdot \cos \theta' + \sin \theta \cdot \sin \theta' = \cos(\theta - \theta') \\ = \cos(\theta' - \theta).$$

$$\vec{E}(\vec{r}) = \frac{\lambda R}{4\pi\epsilon_0} \int_0^{2\pi} \frac{(p \hat{p} + z \hat{z} - R \cos \theta' \hat{i} - R \sin \theta' \hat{j})}{[p^2 + z^2 + R^2 - 2pR \cos(\theta - \theta')]^{3/2}} d\theta'$$

AVANÇADO

Esta integral é de nível avançado: estar associada a uma classe de integrais chamadas elípticas, além do risco da Física III – este exemplo aqui objetiva apenas ilustrar a construção da integral, discernindo as variáveis num' (\vec{r}' , ponto em que avaliamos o campo elétrico) e com' (\vec{r}' , que mede a distribuição de carga).

Então, no entanto, alguém se interessou pela resolução, migrou o artigo em arxiv.org/pdf/1210.01330.

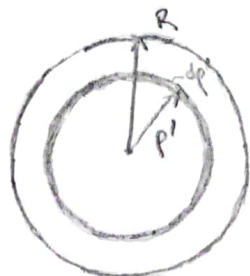
AVANÇADO

$\vec{E}(0, 0, z)$ na
próxima página.

Sobre o eixo z, $\rho = 0$ a integral simplifica-se para:

$$\begin{aligned}\vec{E}(0,0,z) &= \frac{\lambda R}{4\pi\epsilon_0} \int_0^{2\pi} \frac{z\hat{k} - R\cos\theta\hat{i} - R\sin\theta\hat{j}}{(z^2 + R^2)^{3/2}} d\theta \\ &= \frac{\lambda R}{4\pi\epsilon_0} \cdot \frac{1}{(z^2 + R^2)^{3/2}} \left[z\hat{k} \int_0^{2\pi} d\theta' - R\hat{i} \underbrace{\int_0^{2\pi} \cos\theta' d\theta'}_0 - R\hat{j} \underbrace{\int_0^{2\pi} \sin\theta' d\theta'}_0 \right] \\ &= \frac{\lambda R}{2\epsilon_0} \frac{z\hat{k}}{(z^2 + R^2)^{3/2}}, \text{ expressão que serve de base ao próximo exemplo.}\end{aligned}$$

Exemplo: campo elétrico de um disco circular:



Agora, o campo de um anel de raio p' e espessura infinitesimal dp' é um elemento do campo gerado por um disco:

$$d\vec{E}_{\text{disco}} = \vec{E}_{\text{anel}}, \text{ onde agora integrar-}$$

remos em $p' \in (R_{\text{int}}, R_{\text{ext}})$, com distribuição de carga superficial σ dada por:

$$\begin{aligned}dq' &= \lambda dl' = \sigma da' \\ &= \sigma dl' dp' \Rightarrow \lambda = \sigma dp',\end{aligned}$$

$$\therefore d\vec{E}(0,0,z) = \frac{(\sigma dp') p'}{2\epsilon_0} \frac{z\hat{k}}{(z^2 + p'^2)^{3/2}}$$

$$\Rightarrow \vec{E}(0,0,z) = \frac{z\hat{k}}{2\epsilon_0} \int_{R_{\text{int}}}^{R_{\text{ext}}} \frac{\sigma p' dp'}{(z^2 + p'^2)^{3/2}}$$

Se o disco for uniformemente carregado, σ é constante e

$$\vec{E}(0,0,z) = \frac{\sigma z \hat{k}}{2\epsilon_0} \int_{R_{\text{int}}}^{R_{\text{ext}}} \frac{\rho' d\rho'}{(z^2 + \rho'^2)}$$

fazendo

$$\begin{aligned} u &= z^2 + \rho'^2 \\ du &= 2\rho' d\rho' \\ \left\{ \begin{array}{l} \rho' = R_{\text{int}} : u = z^2 + R_{\text{int}}^2 \\ \rho' = R_{\text{ext}} : u = z^2 + R_{\text{ext}}^2 \end{array} \right. \end{aligned}$$

$$= \frac{\sigma z \hat{k}}{2\epsilon_0} \int_{z^2 + R_{\text{int}}^2}^{z^2 + R_{\text{ext}}^2} \frac{\frac{1}{2} du}{u^{3/2}} = \frac{\sigma z \hat{k}}{4\epsilon_0} [-2u^{-1/2}]_{z^2 + R_{\text{int}}^2}^{z^2 + R_{\text{ext}}^2}$$

$$= \frac{\sigma z \hat{k}}{2\epsilon_0} \left(\frac{1}{\sqrt{z^2 + R_{\text{int}}^2}} - \frac{1}{\sqrt{z^2 + R_{\text{ext}}^2}} \right).$$

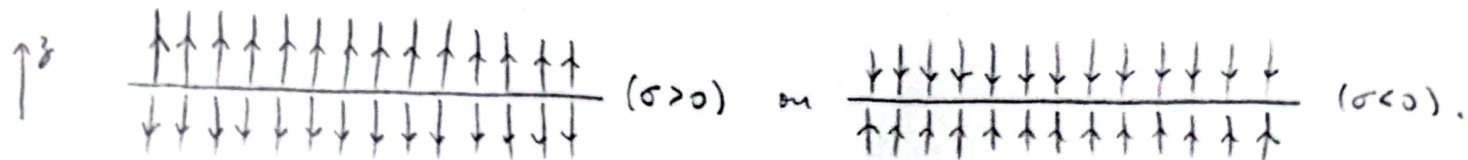
Fazendo, para um disco magro, $R_{\text{int}} = 0$ e $R_{\text{ext}} = R$,

$$\therefore \vec{E}(0,0,z) = \frac{\sigma}{2\epsilon_0} \frac{z}{|z|} \left(1 - \frac{1}{\sqrt{1 + R^2/z^2}} \right) \hat{k}. \quad (\text{D1})$$

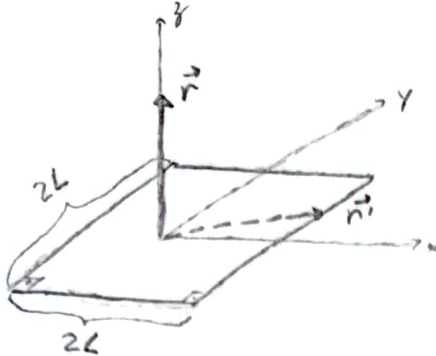
Para pontos muito próximos ao disco ("plano infinito"), $z \ll R$ e, fazendo o limite $\frac{R}{z} \rightarrow \infty$:

$$\vec{E}(0,0,z \ll R) = \frac{\sigma}{2\epsilon_0} \frac{z}{|z|} \hat{k}. \quad (\text{D2})$$

Vemos, tanto por (D1) como por (D2), que as linhas de campo "saltam" ($\sigma > 0$) ou "entram" ($\sigma < 0$) no disco em sua vizinhança, com o esperado. No caso (D2), para um plano infinito não há distinção de sinal (σ pode estar equivalente "em qualquer lugar"), e portanto as linhas de campo têm a seguinte forma:



Exemplo: campo elétrico gerado por um fio quadrado uniformemente carregado:



Vamos restringir
 \vec{r} ao eixo z.

$$\vec{E}(\vec{r}) = \vec{E}_{x_+} + \vec{E}_{x_-} + \vec{E}_{y_+} + \vec{E}_{y_-}$$

campo
devido ao
pedaço de
fio em $x = +L$.

$$\vec{r}' = +L\hat{i} + y'\hat{j} : y' \in (-L, L)$$

$$\vec{E}_{x_+}(\vec{r}) = \frac{1}{4\pi\epsilon_0} \int_{-L}^{+L} dy' \frac{\lambda(\vec{r} - \vec{r}')}{|\vec{r} - \vec{r}'|^3}$$

Densidade linear constante:

$$dq' = \lambda dl'$$

$$= \lambda dy' \text{ para este pedaço}$$

$$= \frac{\lambda}{4\pi\epsilon_0} \int_{-L}^L \frac{(z\hat{k} - L\hat{i} - y'\hat{j})}{(z^2 + L^2 + y'^2)^{3/2}} dy'$$

$$\begin{aligned}
 &= \frac{\lambda}{4\pi\epsilon_0} \left[(z\hat{k} - L\hat{i}) \int_{-L}^L \frac{dy'}{(z^2 + L^2 + y'^2)^{3/2}} - \hat{j} \int_{-L}^L \underbrace{\frac{y' dy'}{(z^2 + L^2 + y'^2)^{3/2}}} \right] \\
 &\quad \text{podem ver o passo a passo da integração no Wolfram Alpha} \\
 &= \frac{\lambda}{4\pi\epsilon_0} \left[(z\hat{k} - L\hat{i}) \frac{2L}{(z^2 + L^2) \sqrt{z^2 + 2L^2}} - \hat{j} \cdot 0 \right] \quad \text{integrandos ímpares no intervalo de integração}
 \end{aligned}$$

$$\text{Em particular, em } z=0: \vec{E}_{x_+}(0) = \frac{-\lambda}{2\pi\epsilon_0} \frac{1}{L\sqrt{2}} \hat{i}.$$

Retornando ao caso $\vec{r}=(0,0,z)$ para somar as contribuições dos quatro pedaços de fio, temos que

$$\vec{E}_{x_-}(0,0,z) = \frac{\lambda}{4\pi\epsilon_0} \left[(z\hat{k} + L\hat{i}) \frac{2L}{(z^2 + L^2) \sqrt{z^2 + 2L^2}} - \hat{j} \cdot 0 \right],$$

de modo que $\vec{E}_{x+} + \vec{E}_{x-} = \frac{\lambda}{2\pi\epsilon_0} \cdot (z\hat{k}) \frac{zL}{(z^2 + L^2) \sqrt{z^2 + 2L^2}}$

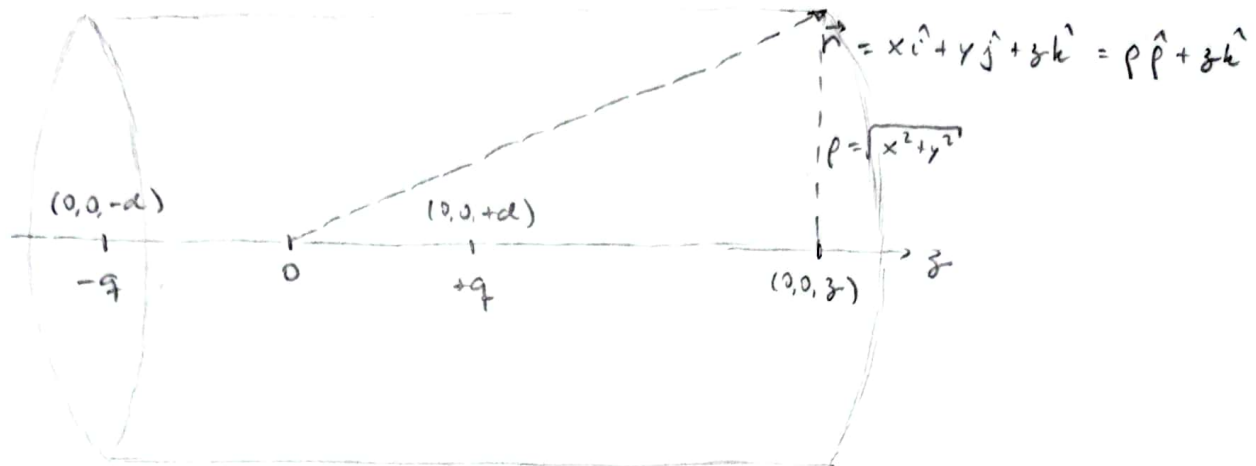
$$= \frac{\lambda L z}{\pi\epsilon_0 (z^2 + L^2) \sqrt{z^2 + 2L^2}} \hat{k}$$

nosso o eixo z ,

que por simetria é igual à soma $\vec{E}_{y+} + \vec{E}_{y-}$.

$$\therefore \vec{E}(0,0,z) = \frac{2\lambda L z}{\pi\epsilon_0 (z^2 + L^2) \sqrt{z^2 + 2L^2}} \hat{k}$$

Exemplo: campo elétrico gerado por um dipolo:



$$\begin{aligned}\vec{E}(\vec{r}) &= \frac{+q}{4\pi\epsilon_0} \frac{x^i-hat + y^j-hat + (z-d)^k-hat}{(x^2 + y^2 + (z-d)^2)^{3/2}} + \frac{(-q)}{4\pi\epsilon_0} \frac{x^i-hat + y^j-hat + (z+d)^k-hat}{(x^2 + y^2 + (z+d)^2)^{3/2}} \\ &= \frac{q}{4\pi\epsilon_0} \left[(x^i-hat + y^j-hat) \left(\frac{1}{[x^2 + y^2 + (z-d)^2]^{3/2}} - \frac{1}{[x^2 + y^2 + (z+d)^2]^{3/2}} \right) \right. \\ &\quad \left. + \hat{k} \left(\frac{(z-d)}{[x^2 + y^2 + (z-d)^2]^{3/2}} - \frac{(z+d)}{[x^2 + y^2 + (z+d)^2]^{3/2}} \right) \right]\end{aligned}$$

dependência vetorial em (x, y) na forma $x^i-hat + y^j-hat = \rho \hat{\rho}$
e dependência escalar em (x, y) na forma $x^2 + y^2 = \rho^2$: manifestações da simetria cilíndrica do sistema.

Logo, temos $\mu \equiv d/z$:

$$\begin{aligned}\vec{E}(\vec{r}) &= \vec{E}(\rho, z) = \frac{q}{4\pi\epsilon_0} \left[\rho \hat{\rho} \left(\frac{1}{[\rho^2 + z^2(1-\mu)^2]^{3/2}} - \frac{1}{[\rho^2 + z^2(1+\mu)^2]^{3/2}} \right) \right. \\ &\quad \left. + z \hat{z} \left(\frac{(1-\mu)}{[\rho^2 + z^2(1-\mu)^2]^{3/2}} - \frac{(1+\mu)}{[\rho^2 + z^2(1+\mu)^2]^{3/2}} \right) \right]\end{aligned}$$

é a expressão para o campo elétrico de um dipolo em qualquer ponto do espaço (exceto pela localização das cargas).

Utilizando as expansões em série de Taylor:

A
V
A
N
G
A
D
O

$$\frac{1}{[\rho^2 + z^2(1+u)^2]^{3/2}} = \frac{1}{(\rho^2 + z^2)^{3/2}} + u \cdot \frac{3z^2}{(\rho^2 + z^2)^{5/2}} + O(u^2)$$

$$\frac{(1+u)}{[\rho^2 + z^2(1+u)^2]^{3/2}} = \frac{1}{(\rho^2 + z^2)^{3/2}} + u \cdot \frac{(\rho^2 - 2z^2)}{(\rho^2 + z^2)^{5/2}} + O(u^2),$$

temos, até primeira ordem em $u = d/z \ll 1$ (i.e., para distâncias do dipolo muitas maiores que a separação entre as cargas que o constituem):

$$\vec{E}(\rho, z) = \frac{q}{4\pi\epsilon_0} \left[\hat{p} \left(\frac{6z^2\rho}{(\rho^2 + z^2)^{5/2}} \right) u + \hat{k} \left(\frac{z(2z^2 - \rho^2)}{(\rho^2 + z^2)^{5/2}} \right) u \right] + O(u^2),$$

O que permite avaliar a ordem de grandeza das componentes do campo elétrico conforme a ordem de grandeza da distância do dipolo:

Noto $r = \sqrt{\rho^2 + z^2}$, se considerarmos para grandes valores de r :

$$\bullet z \sim \rho \sim r : \vec{E} \sim \frac{q}{4\pi\epsilon_0} \left(\frac{6}{r^2} u \hat{p} + \frac{1}{r^2} u \hat{k} \right) \Rightarrow E \sim \frac{q}{4\pi\epsilon_0} \cdot \frac{6}{r^2} \cdot \frac{d}{r};$$

$$\bullet z \sim r \wedge \rho \sim 1 : \vec{E} \sim \frac{q}{4\pi\epsilon_0} \left(\frac{6}{r^3} u \hat{p} + \frac{2}{r^2} u \hat{k} \right) \Rightarrow E \sim \frac{q}{4\pi\epsilon_0} \cdot \frac{2}{r^2} \cdot \frac{d}{r};$$